

昭陽湖의堆砂分布豫測

Forecasting Distribution of Sediment Deposits
in Soyang Lake

權 五 憲
Kwon, Oh Hun

1. 머릿말

本稿는 1972 年度에 答者가 U.S.B.R.에서 水資源開發에 關한 教育을 받고, 科學技術處에 作成, 提出한 報告書 「大容量貯水池內의 堆砂分布豫測」(72.10.1)을 반체한 것이다.

流砂의 堆積形狀에 關해서는 이미 소개된 바 있으나 단편적으로 記述되었거나 또는 最近에 發展補完된 內容이 누락되었기에 여기서는 實務者들의 應用을 為하여 이미 淹水가 開始된 昭陽江多目的貯水池를 計算實例로 하여 Borland 및 Miller의 「The Empirical Area-Reduction Method」를 綜合的으로 소개한다. 여기에 쓰인 몇 가지 用語는 答者が 任意로 번역한 것으로 英語를 併記하였다.

昭陽湖의 計算例는 本文에서 未備한 說明을 補完하고 計算順序를 보여주기 為한 것으로 既存設計와 比較하려는 의도는 없음을 밝힌다.

2. 概要

河川은 물과 함께 끈임없이 流砂를 下流로 運送하고 있다. 地形의 인制限과 水文, 水理의 条件에 따라 流砂는 河道가운데서 堆積과 洗掘을 반복하여 平衡河道를 이루게 된다. 우리가 河川에 堤를 築造하게 되면 이 터 河川의 有機的인 支配條件에 人為的 變化를 주게 되며, 이에 따라 堤의 上下流에 주차적으로 河床의 움기와 세굴이 생긴다.

댐 上流에 이루어지는 河床의 움기는 貯水池의 機能을 감소시켜주며 따라서 댐의 計劃과 設計를 할 때 流砂의 蓄積을 為한 적당한 容量를 追加하여 貯水池의

壽命을 연장시켜 준다. 그밖에 遊園 및 觀光施設計劃과 背水位 計算에 流砂의 堆積形態는 重要한 영향을 주게 된다.勿論 堆砂容量을 過加設置하는 方法以外에도 貯水池內의 堆砂를 直接 淹渫한다든가 集水區域의 流砂原因을 감소시키거나 또는迂回路를 通한 排砂도 있지만一般的으로 이런 方法은 現在의 물 價值로 볼 때 經濟的妥當성이 없고 특히 大容量 貯水池에는 技術의 으로도 적절한 對策이 없다.

따라서 流砂의 堆積形狀을 가능한 한 正確히 豫測하여 이를 為한 容量을 增設하고 적절히 設計를 調整하므로써 貯水池 機能을 維持하는 것은 가장 現實의이고 經濟的인 方法이다. 過去한 때는 저수지의 제일 깊은 바닥에 流砂가 堆積되었다고 認識되었으나 수 많은 기준 저수지를 實測한 結果 流砂는 貯水池 全體에 걸쳐 分布되고 때로는 저수지 上流部에相當한 量의 堆積이 發生한다. 即 이것은 流砂가 저수지의 容積曲線(Area-Capacity Curve)를 全般的으로 变화시킴을 의미한다. 貯水池內의 流砂分布는 그림 1과 같이一般的으로 湖沼나 바다에서 形成되는 Delta Deposits와 같다.

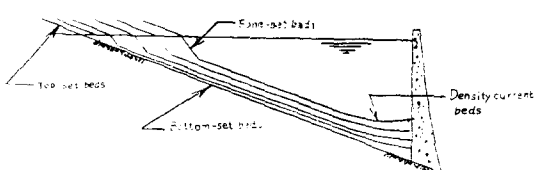


그림 1. 堆積의 發達

貯水池 最深部는 變動要因이 적으나 上流部 堆砂는 流水에 依하여 直接의 變화를 받으며, 時間이 經過함에 따라 아주 큰 粒徑의 粒子를 除外하고는 점차 増加으로 移動하게 된다(그림 2).

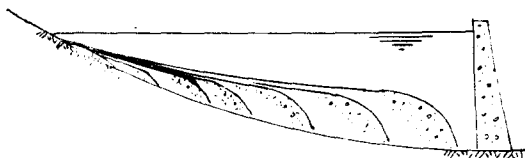


그림 2. 堆砂의 移動

貯水池內의 砂洲發達에 關해서 美國 內務省(U.S.B.R.), 陸軍工兵團 또는 農業省(Soil Conservation Service)等에서 各 業務特性에 따라 여러 가지 方法이 研究되고 있다. 그러나 經驗的인 接近이 現在로는 理論的인 것보다 實用的인 것으로 評價되고 있으며 대체로 다음것들이 있다.

그 한가지 方法은 Eugene A. Cristofano의 堆砂面積增加法(The Area-Increment Method)¹⁾로서 單純한 假定에 立脚한 簡便한 算術的인 方法이다. 다른 한가지 方法은 U.S.B.R.에서 적용하고 있는 經驗的面積減少法(The Empirical Area-Reduction Method)²⁾로서 貯水池의 實測資料를 根據로 한다.

이 두가지 方法은 모두 流砂의 堆積에 따른 貯水面積의 감소를 單純한 方法으로 규명하는 것이다.

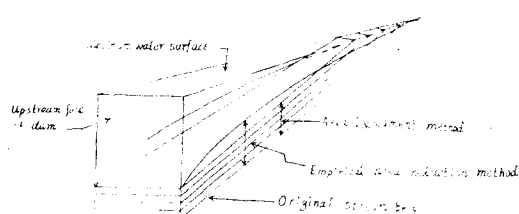


그림 3. 基本假定의 比較

「堆砂面積增加法」은 다음의 基本方式으로 表示되어, 評價된 總堆砂量이 여기서 平均斷面法으로 算出된 容量과 一致할 때까지 試算(Trial and Error)을 繼續한다.

$$V_s = A_0(H - h_0) + V_0 \dots \dots \dots (1)$$

여기서

V_s : 河床 내에 쌓이는 總堆砂量

A_0 : 一定期間後 땅地點(New Zero EL)에서의 貯水池面積

H : 河床에서當時滿水位(N.H.W.L)까지의 高さ

h_0 : 땅地點에서의 堆砂깊이로서 세로운 堆砂面高을 찾기 为해서 一次의으로 구하려는 값

V_0 : 新堆砂面 以下의 堆砂容量

이 方法의 基本假定은 實際와 完全히 一致하지는 않으나 매우 實用的이며 땅의 基本計劃이나 땅地點의 堆

砂位를 一次의으로 檢討하는데 매우 有用한 方法으로 알려져 있다.

「經驗的面積減少法(經驗法)」은 U.S.B.R.에서 美國內 30個의 既存 貯水池에서 實測한 資料로 유도한 것으로 U.S.B.R.은 勿論 T.V.A. 및 美工兵團에서 貯水池計劃에 널리 쓰이고 있다.

이 經驗的인 方法은 다음章에 記述되는 바와 같이 그 基本假定에 결합이 있어서 앞으로 더욱 補充發展될 어지가 많다. 洪水調節을 큰 目的의 하나로 하는 美工兵團에서는 貯水池操作에 따른 水面 昇降의 頻度와 流砂中 細粒子의 構成比에 關心을 갖고 開發한 貯水池持續水位法(Pool Elevation Duration Method)³⁾이 一部適用되고 있다. 이 方法은 貯水池의 地形條件外에 流砂의 特性과 貯水面의 變動을 고려한 것으로 U.S.B.R.의 「經驗法」보다는 理論的인 결합이 칙하고 하겠으나 그 實用性과 信賴度는 貯水池 特性에 따라 左右된다고 본다.

3. 堆積形狀豫測의 重要性

流砂는 流水와 함께 貯水池에 流入되자마 물과 같이 쉽게 땅으로부터 放流가 안되고 貯水池에 堆積하므로 貯水池의 機能은 물론 自然의 保存에 바람직하지 않은 영향을 주게된다. 이러한 流砂의 堆積이 貯水池의 設計와 其他 聯關計劃에 주는 영향과 그 重要性을 간단히 살펴본다.

3-1 取水口의 位置選定

貯水池에 담수가 始作됨에 따라 貯水池는 堆砂로 埋沒되어 가며, 따라서 貯水池의 機能을 維持하기 为하여 이 堆砂를 為한 容量을 增設하게 된다. 普通 100年間의 流入堆砂量을 豫測하고 亂地點에서의 堆砂位를 判斷하여 적어도 이 세로운 堆砂位 위에 取水口와 Penstock Sill을 設置해야 된다.

3-2 用水供給 能力判斷

流砂는 貯水池에 골고루 分布되므로 堆砂容量이 增設되었다해도 貯水池의 모든 標高에서 有効蓄水容量을 감소시켜 준다.

따라서 流砂가 堆積된 상태에서 操作檢討하여 貯水池의 實供給能力을 判斷해야 될 것이다. 貯水池의 總蓄水量에 比하여 堆砂量은 一般的으로 작다고 해도 이 텔처 하므로써 貯水池 運營의 信賴度가 向上될 것이다.

3-3 背水位의 檢討

貯水池의 計劃과 建設에 있어서 背水位의 問題는 水浸地 補償에 重要할 뿐만 아니라 때로는 最適規模 또는 그 計劃의 適否를 決定하는데 영향을 끼칠 수 있다. 流砂의 堆積은 原來의 河道形狀을 變化시키며, 따라서 貯水池의 水位를 낮게 하여야 한다. 特히 流砂의 堆積이 通常 저수지 上流部에서 活發히 이루어지므로 買收 및 補償은 必論이고 洪水時에 橋梁 揭水場 또는 遺蹟 등 上流 施設物에 미치는 영향을 慎重히 分析 檢討되어야 할 것으로 본다. 그밖에 上流部 인근 土地에 排水問題 또는 航運計劃에 問題를 慮起하게 될 것이다.

3-4 觀光 遊園 計劃

貯水池가 建設되면 대개 그 一帶는 풍치지구로 되어 水泳場, 渡船場, 오락, 宿泊施設 등 많은 施設物이 저수지 兩岸에 集中하게 된다.

그러나 多目的댐과 같은 大容量 貯水池에서는 季節 또는 日別로 水面의 异降이 심하고 特히 潟水期에 兩岸을 따라 露出되는 泥土와 같은 침전물은 遊園計劃에 큰 위협이 된다.

우리나라에서는一般的으로 多目的댐 計劃과 貯水池運營操作에 遊園開發乃至 保存이 問題되고 있지 않다고 보지만 댐의 調査設計에 長期間이 要하고 또 貯水池의壽命이 100年以上으로 評價되는 점을 생각할 때 앞으로는 遊園 및 觀光計劃에 對한 重要性이 慎重하게 評價되어야 할 것이다.

따라서 多目的댐 計劃樹立에 있어서 流砂堆積이 遊園資源 保存에 미칠 영향이 充分히 규명되어야 할 것이다.

4. 流砂 分布의 支配 要因

貯水池內 流砂의 堆積形態를 규명하기 전에 先 그 形成의 要因을 살펴볼 必要가 있겠다. 이를 要因은 各已 相互聯關係이 있고 複合的이어서 獨立的인 要因은 아니지만 대체로 다음과 같이 大別할 수 있겠다.

4-1 貯水池의 地形的 要素

貯水池의 縱橫斷面 特性이 流砂에 重要한 要因의 하나일 것은 쉽게 判斷된다. 流水와 함께 流砂가 貯水池에 進入될 때 流水斷面이 擴大되고 流速이 갑자기 감소됨에 따라 粒子의沈降活動이 활발해질 것은 明顯하다. 따라서 河川 上流部에 있는 貯水池라면 貯水池 下端部가 鋸齒面擴大部가 될 것이며 流砂는 貯水池內 下端에 集

中될 것이다. 下流 貯水池라면 上端에 偏倚可能性이 있다. 그 땐에도 貯水容積의 集水面積(또는 流入量)에 對한 比는 堆砂率(Trap Efficiency) 및 그 分布와 어떤 相關이 있겠지. 即 貯水池의 地形的 要因은 流砂分布를決定하는 하나의 重要한 函数가 되겠지.

4-2 流砂의 特性

流砂의 粒度 分布는 또 하나의 重要한 要因이다. 粒徑의大小 分布는 貯水池의 堆砂率에도 큰 영향을 끼친다. 貯水池의 縱斷面에 따른 分布에 큰 要因이 된다. 即 比較的 둘은 粒徑이 많다면 堆砂는 上端에 偏倚한다고 보니 粒度가 均等하다면 上下流에 골고루 分布할 것이다. 따라서 流砂의 粒度 分布나 流砂源을 調査하면서 堆積豫測 問題를 解決하는 方法도 생각할 수 있다.

4-3 貯水池의 操作 方法

貯水池의 特性에 따라 그 貯水池의 運營方法이 流砂 分布에 큰 영향을 주는 곳도 있을 것이다. 즉 貯水池의 機能과 目的, 餘水路의 形式(調節 또는 自然流下式)에 따라 貯水表面 异降의 頻度, 深度, 持續時間等이 달라질 것이다. 이에 따라 流砂의 침전位置가 규명될 수 있을 것이다. 이것은 또한 그림 2에서 보는 바와 같이 上流의 堆砂를 下 方向으로 移動시키는데 重要的原因이 될 수 있다. 貯水池의 地質에 따라서는 빈번한 水面 异降이 水面兩岸에서 浸蝕作用(Shore Erosion)을 하는 곳도 있을 것이다.

4-4 其他

그 밖에도 河川의 流況은 貯水容積과 關聯하여 流砂 分布에 영향을 주며, 流況과 流砂粒度의 相關性도 생각된다. 支流의 位置 및 그 크기 또는 飛砂等이 堆砂 分布에 큰 영향을 주는 곳도 있을 것이다.

5. The Empirical Area-Reduction Method

堆積形成의 諸 要因들은 貯水池 및 集水地域의 特性에 따라 相異하고 또 이들이 複合的으로 關聯되므로 이들의 函数關係를 綜合的으로 규명하기는 現在로는 不可能할지도 모른다.

U.S.B.R.에서는 많은 既存 貯水池의 實測資料를 地形特性에 關聯시켜 分析 시도하였다. Van't Hull은 經驗의in 判斷과 直觀으로 이들 貯水池를 地形特性에 따라 4群으로 分類하였다(그림 4).

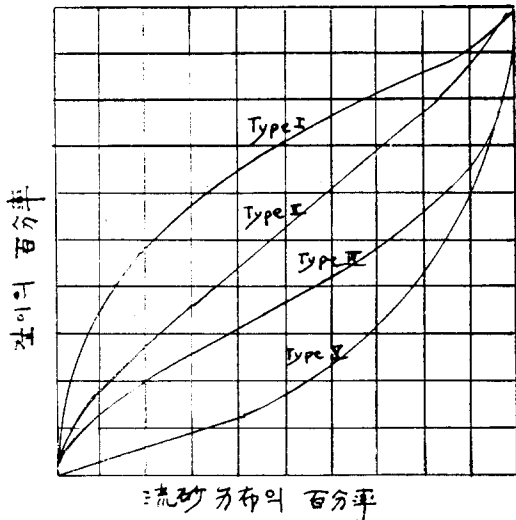


그림 4. 貯水池 形態別 流砂分布

1960 年 Borland 와 Miller 는 이들 水深對 容量의 比와 貯水池內 堆積과의 關係를 數式으로 展開하였다.

1962 年 Moody⁴⁾는 다시 이를 补完發展시켜서 埤地點에서의 堆積位를 決定하기 為한 便簡한 試算(Trial and Error Method)을 圖解法으로 消去하여 이 方法의 有用性을 높여 주었다.

5-1 基本 方程式

Moody 가 發展시킨 流砂分布의 基本方程式은 아래와 같이 表示된다. 이 式은 (1)式과 類似한 概念이다 (그림 5).

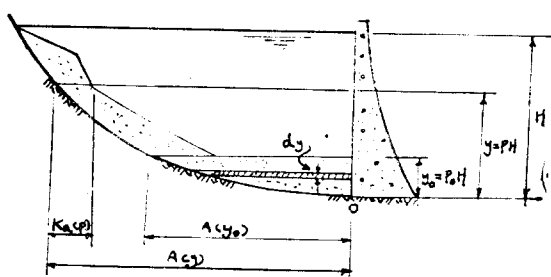


그림 5. 諸元表記

$$S = \int_0^{y_0} Ady + \int_{y_0}^H Kad y \quad \dots \dots \dots (2)$$

여기서

S : 貯水池內의 一定期間後의 總堆積量(普通 100 年間의 堆積量)

0 : 埤地點의 原地盤高

y_0 : 一定期間後 埤地點의 新로운 地盤으로 臨界深 또는 臨界點의 標高로 表示됨.

A : 貯水池水面積으로서 높이 y 의 함수

dy : 높이의 增分

H : 貯水池의 總水深이며, 河床으로부터 常時滿水位 또는 洪水位까지임.

K : 堆積의 比面積(Relative Area)과 實面積(Actual Area)의 比例常數로서 貯水池 地形에 따라 決定됨.

a : 實堆積面積을 比例常數 K 로 나눈 比面積

5-2 Moody 의 展開

Moody 는 (2)式의 積分을 展開하여 無次元化하므로써 아주 간결한 結果를 유도했다. 即 總水深 H 에 對한 어떤 實水深 y 의 比를 表示하는 比深(Relative Depth) P 를 도입하고, 臨界深(Critical Depth) y_0 를 決定해주는 無次元의 臨界深決定函數 h (Critical Depth Determining Function)를 적용했다. h 의 值은 比深 P 와 流砂分布의 形태에 따라 決定된다. 이들의 關係를 表示한 것이 設計曲線 그림 6이다.

臨界深決定曲線을 利用하면 貯水池의 分類와 總堆積量으로서 臨界深即 新堆積位를 求하게 된다. 아래의 式에서 添字 0 是 臨界深 y_0 에 對한 어떤 函数의 值을 表示한다.

(2) 式의 右邊에

$$V_0 = \int_0^{y_0} Ady$$

$$y = pH$$

를 넣어서 置換하면 다음과 같다.

$$\begin{aligned} S &= V_0 + \int_{p_0 H}^H Kad(pH) \\ &= V_0 + KH \int_{p_0}^1 adp \end{aligned} \quad (3)$$

여기서 無次元量인 貯水池의 比容量 V (Relative Reservoir Volume), 比面積 a (Relative Reservoir Area)를 쓰면 아래와 같이 定義된다.

$$V(p) = \int_0^p a(p) dp$$

$$V(1) = 1$$

그러므로 (3)式은 다음과 같이 處理된다.

$$\begin{aligned} S &= V_0 + KH \int_{p_0}^1 adp \\ &= V_0 + KH \left[\int_0^1 adp - \int_{p_0}^1 adp \right] \\ &= V_0 + KH (1 - V_0) \end{aligned} \quad (4)$$

基本定義에 依하면

$$A_0 = Ka_0 \quad (5)$$

(4), (5)式에서 未知數 K 를 消去한다.

$$\begin{aligned}\frac{S-V_0}{H(1-V_0)} &= \frac{A_0}{a_0} \\ \frac{1-V_0}{a_0} &= \frac{S-V_0}{HA_0}\end{aligned}\quad (6)$$

(6)式을 一般式으로 表示하면

$$h(p) = \frac{1-V(p)}{a(p)} \quad (7)$$

$$h'(p) = \frac{S-V(y)}{HA(y)} \quad (8)$$

(8)式에서 y 는 p 의 함수이므로

$$h'(p) = \frac{S-V(pH)}{HA(pH)} \quad (8')$$

(7)式에서 h 는 Van't Hull의 流砂分布에 對한 設計曲線의 理論的인 函數式으로서 4種類의 貯水池群에 對하여 設計曲線을 각각 作成할 수 있다(設計曲線 그림 6). 한편 (8')式의 h' 는 特定 貯水池에 對한 函數量을 表示한다. 그런데 (6)式에 依하면 위의 두 값 h 와 h' 는 臨界深 y_0 에서 반듯이 같아야 한다.

따라서 (7)式으로 表示되는 貯水池設計曲線群中에서 特定 貯水池의 種類와 같은 設計曲線을 選擇하여 이외에 (8')式을 투사할 때 그 交叉點이 臨界比深 p_0 가 되면 이로부터 臨界深 y_0 가 計算된다.

앞에서 定義한 바와 같이 臨界深이라함은 一定期間後 滯地點에서의 堆砂깊이를 의미하며 따라서 新堆砂位가 구해진다(9節計算實例 參照).

貯水池의 橫斷方向에 따른 堆砂의 體積과 이것을 面積으로 변환시킨 設計曲線은 그림 6과 7이니 아래의 式으로 定義된다(堆砂體積設計曲線은 省略함).

$$V(p) = \frac{1}{c} \int_0^p p^m (1-p)^n dp \quad (9)$$

$$a(p) = c \cdot p^m (1-p)^n \quad (10)$$

여기서

$$c = \frac{1}{\beta(m+1, n+1)} \quad (\beta \text{는 Pearson의 不確定函數})$$

特性媒介常數 c 와 m, n 은 無次元으로 貯水池의 種類에 따라 一定하다. m 과 n 은 試算에 依하여 式(9)로 表示되는 曲線이 Van't Hull의 設計曲線에 잘 맞도록 最小自乘法으로 구할 수 있다.

m 과 n 이 決算되면 比面積(A_p)曲線의 總面積은 1

表 1 貯水池 特性係數

貯水池 種類	c	m	n	堆積의 偏倚	方程式(그림 7)
I	5,047	1.85	0.36	上流	$a=5,047 p^{1.85} (1-p)^{0.36}$
II	2,487	0.57	0.41	中上流	$a=2,487 p^{0.57} (1-p)^{0.41}$
III	16,967	1.15	2.32	中下流	$a=16,967 p^{1.15} (1-p)^{2.32}$
IV	1,486	-0.25	1.34	下流	$a=1,486 p^{-0.25} (1-p)^{1.34}$

이 되어야 하므로 c 값이 구해진다. 4個 貯水池群에 對하여 最近 U.S.B.R.에서 求한 이들의 값은 <表 1>과 같다.

5-3 貯水池 地形圖의 修正

元來의 地形圖와 修正된 貯水池의 容積曲線(A-C)으로 各等高線別水面積을 얻어 試算으로 調整한다.⁶⁾

그러나 本結果의 精度는 오히려 地形圖의 精度(等高線간격)에 크게 左右된다. 여기서 地形圖와 貯水池縱橫斷圖를 修正할 때 斷面積, 潛邊, 動水半徑 등 水理特性을 背水坡計算에 適合토록 調整해야 한다.

6. 實務上의 問題點

6-1 貯水池의 形態 分類

U.S.B.R.의 經驗法은 流砂의 分布形態에 影響을 주는 여러 가지 要因中 貯水池의 地形的 特性을 函數로하는 것으로 앞으로 더욱 補完發展되어야 할 것이다.

本方法의 適用에 있어서 貯水池의 種類(Van't Hull의 分類)를 判斷하는 것은 實際의으로 甚加 重要한 問題로서 단약 貯水池의 地形特性以外에 其他の 要因이 현저하다면 이것을 고려하므로서 本方法의 理論的 결합을 补充할 수 있을 것이다. 例를 들면 어떤 貯水池의 水深對 貯水容量의 比가 $m=1.4$ 라면 이 貯水池는 산악지역의 척곡으로 Type IV로 分類되며(그림 8 참조) 流砂는 貯水池下端에 偏重堆積될 것이다. 그런데 萬若 流砂의 粒度分析結果 그 粒度가 아주 均等하다면, 그 堆積은 時期豫期한 것과는 달리 貯水池 全體에 고루 分布되거나 中下流部에 偏倚할 것이다.

이런 경우에는 地形特性으로 決定된 Type IV보다는 Type III(hill) 또는 Type II(Flood Plain)을 指定하므로서 보다 近似한 結果를 期待할 수 있겠다.

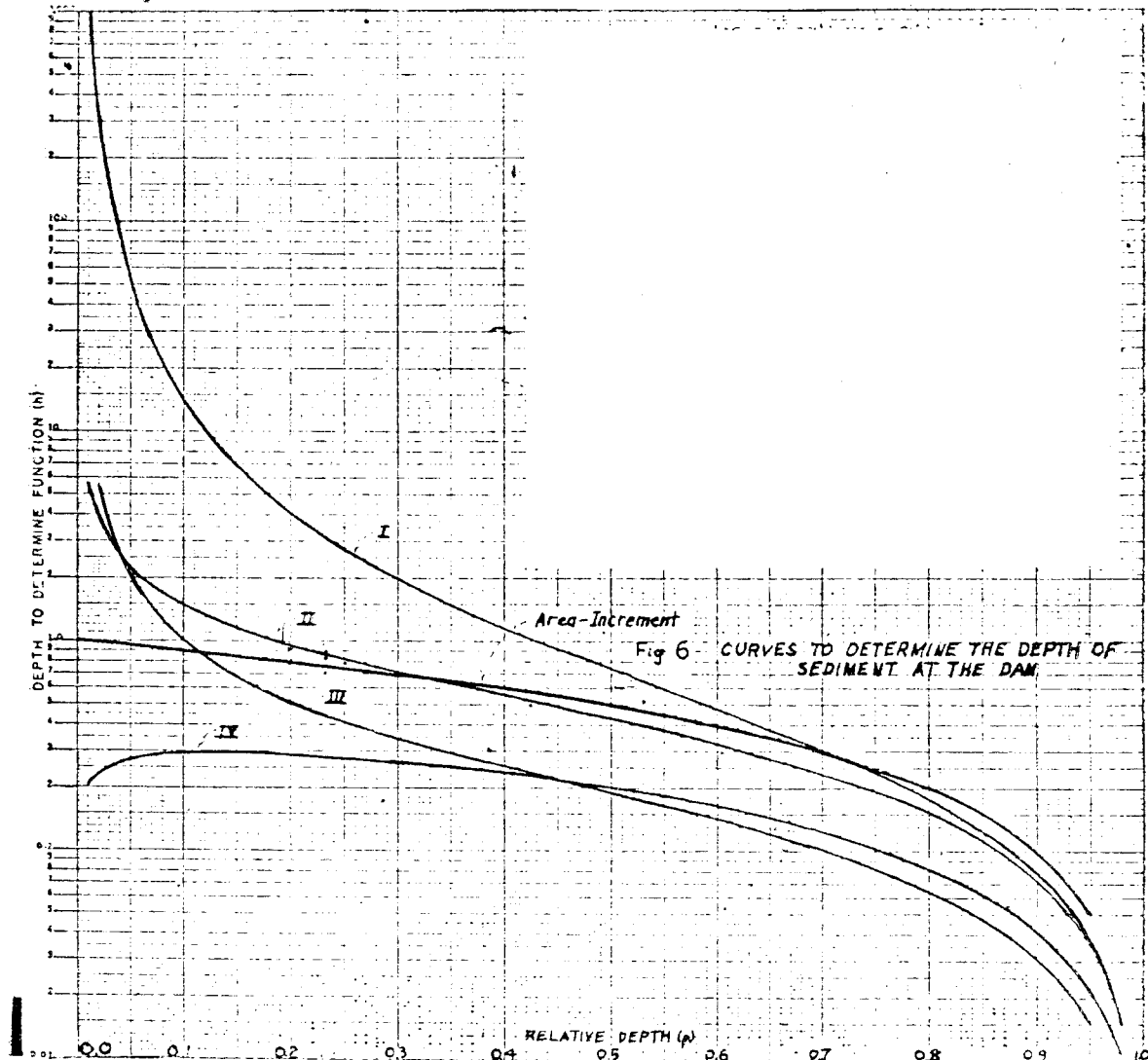
6-2 最高 堆砂位 決定

經驗法에서 貯水池內의 最高 堆砂位 또는 總水深 H 는 常時滿水位와 貯水池 縱斷曲線의 交叉點을 基準으로 한다. 그러나 流砂 堆積의 大部分의 洪水期 또는 豊水期에 이루어진다고 볼 때 洪水調節專用容量이 있는 多目的型 貯水池의 最高堆砂位는 常時滿水位보다는 計劃洪水位를 指定해야 될 것이다.

治水 및 利水의 共用容量(Joint Use Capacity)인 경우에는 이들이 洪水豫報에 立脚하여 運營된다면 이 共用容量의 最高洪水位가 最高堆砂位일 것이다, 昭陽江 多目的型과 같이 季節別로 運營되는 共用容量은 洪水期到來以前에 豫備放流에 依하여 水位가 降下되므로

設計洪水位以下 常時滿水位以上의 範圍에서 最多頻度等의 水位를 基準으로 하는것이 常時滿水位보다는 더 바람직 하겠다.

그러나 本 方法의 精度를 생각할때 最高堆砂位를 常時滿水位로 看做해도 그 結果의 信賴性을 크게 낮추지는 않을 것으로 본다.



6-3. 適用의 可能性

이 U.S.B.R.의 經驗的 方法이 우리나라의 賽水池에適合할 것인가를 判斷하는 것은 쉬운 問題는 아니다. 그러나 앞에서 言及한 賽水池內의 堆積形成 要因들이 우리나라와 美國이 현저히 相異한가 또는 類似한가를 살펴봄으로서 대충 判斷될 것이다.

그러나 本 經驗法의 標準設計曲線을 유도하는데 쓰인 30個의 賽水池는 그 機能이나 規模, 位置等에서 어떤 보편성을 發見할 수가 없다. 이것은勿論 實測資料

가 充分치 못하고 또 이 方法을 美國 全域에 共通의 으로 適用하려는 의도때문에 資料가 多樣하게 選擇되었기 때문일 것이다. 따라서 流域의 地形이나 流砂 또는 賽水池 操作方法등이 特殊하지 않다면 우리나라에 이 方法을 適用하는데 큰 問題點은 없다고 생각된다.

6-4. 適用上 制限

그러나 여기서 分明한 것은 이 經驗法은 灌溉나 多目的 的機能을 갖인 大容量의 壩堤式賽水池로부터 유도된 것이므로, 洪水調節이나 發電單目的으로 運營되거나

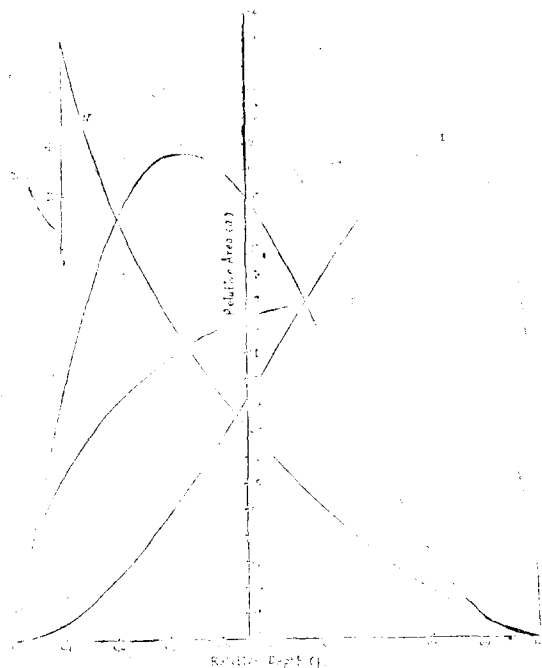


그림 7. Area Design Curve

水路式의 小容量 貯水池에는 通用할 수 없을 것이다. 大體로 貯水容量이 $12 \times 10^6 m^3$ 以上되는 多目的的에는 적합할 것으로 본다. 그러나 大容量 또는 小容量 貯水池를 一定한 貯水容量을 基準으로 區分하기보다는 流砂堆積에 決定的인 影響을 주는 特殊要因이 있는가與否를 관찰해야 된다는 것이 더 強調된다.

7. 結論

7-1

經驗法은 U.S.B.R. T.V.A. 及 美工兵團等에서 가장 널리 쓰이는 經驗의인 接近法으로 그 理論의인 單純性에 比하여 實用性이 認定되고 있다. 그러나 貯水池의 地形特性만이 流砂分布의 決定的 要因이라고는 할수 없으므로 이 方法을 通用할때 貯水池形態(Van't Hull의 分類)를 慎重히 檢討, 調整 決定해야 한다.

7-2

이러한 堆砂問題의 分析方法이 不完全한 것은 主로 有用한 資料의 不足에 基因하여 앞으로 各種 貯水池에 對한 資料가 調查, 수집된다면 貯水池의 地形外에 流砂의 粒度, 流況, 貯水池水位操作等을 媒介로 하는 歸納的分析이 可能할 것이다.

7-3

그리나 流砂分布의 機構分析이 아무리 發展된다고 해도 堆積要因의 多樣性과 不確定性을 考慮할 때 그 誤差의 可能性을 排除할 수는 없다. 따라서 우리나라에 있는 各種 既存 貯水池와 앞으로 建設된 貯水池의 堆積形態를 繼續的으로 實測할 것을 強力히 建議한다.

이것은 流砂distribution의 分析資料가 될뿐만 아니라 各 貯水池의 堆積傾向을 파악하므로써 貯水池의 壽命이 短縮되는 単대한 損失을 未然에 防止하기 為한 對策樹立에 重要한 資料가 되기 때문이다.

7-4

本 經驗式은 그 根據資料도 볼때 大體로 貯水容量이 $12 \times 10^6 cm^3$ 以上되는 多目的的 貯水池 設計에 適用될 것이며 其他 小規模의 特殊型에서는 그 堆積樣狀이 다를 것으로 생각된다.

7-5

關聯資料와 時間이 充分하다면 本 方法以外에 其他 方法으로 分析하므로서 그 結果를 比較, 檢討하는것이 바람직하다.

8. 設計資料

8-1 貯水池型 分類

貯水池의 높이(또는 깊이) 對 容積을 兩對數紙에 그린 8과 같이 그려서 級선의 기울기(m)를 구하여 표 2와 같이 分類한다.

〈표-2〉 地形特性에 依託 貯水池型

m	Type	位 置	備 考
3.5~4.5	I	平坦地	$m = \frac{\text{Capacity}}{\text{Depth}}$; Log scale
2.5~3.5	II	丘陵地	
1.5~2.5	III	山 地	
1.0~1.5	IV	狹 谷	

8-2 設計曲線

貯水池型에 따른 臨界深決定函數(h), 比堆砂面積 比 堆砂體積의 比深(p)에 對한 關係는 다음의 표-3과 같으며 이 중 다음 計算實例에 用한 設計曲線은 그림 6, 7이다.

<표-3>

貯水池의 特性函數

V : 比容量
 a : 比面積
 h : 臨界深決定函數

Van' T Hul Type	I			II			III			IV			
	p	v	a	h	v	a	h	v	a	h	v	a	h
0	0	0	∞	0	0	∞	0	0	∞	0	0	∞	0
0.01	0.00000.001003	996.7	0.0011	0.1794	5.598	0.0004	0.08307	12.03	0.0623	4.635	0.2623		
.02	.0000 .003604	277.5	.0034	.2652	3.758	.0017	.1801	5.544	.1041	3.845	.2339		
.05	.0003 .01941	51.49	.0142	.4415	2.233	.0116	.4805	2.057	.2035	2.933	.2716		
.1	.0024 .06863	14.53	.0415	.6410	1.495	.0475	.9407	1.013	.3323	2.294	.2911		
0.15	0.0076 0.1424	6.971	0.0774	0.7889	1.169	0.1042	1.313	0.6821	0.4370	1.920	0.2932		
.2	.0170 .2372	4.145	.1199	.9067	0.9706	.1772	1.588	.5180	.5259	1.647	.2878		
.25	.0316 .3501	2.766	.1678	1.003	.8299	.2614	1.768	.4178	.6026	1.429	.2781		
.3	.0523 .4785	1.980	.2199	1.082	.7212	.3524	1.857	.3486	.6694	1.245	.2656		
.35	.0797 .6197	1.485	.2757	1.146	.6323	.4459	1.867	.2969	.7275	1.084	.2513		
0.4	0.1144 0.7708	1.149	0.3343	1.196	0.5565	0.5380	1.808	0.2555	0.7781	0.9422	0.2355		
.45	.1569 .9289	0.9076	.3951	1.234	.4900	.6257	1.692	.2212	.8220	.8142	.2187		
.5	.2074 1.091	.7267	.4575	1.261	.4303	.7065	1.531	.1917	.8597	.6979	.2010		
.55	.2660 1.253	.5860	.5210	1.275	.3758	.7783	1.338	.1657	.8919	.5918	.1826		
.6	.3326 1.410	.4732	.5848	1.276	.3253	.8400	1.125	.1422	.9191	.4945	.1637		
0.65	0.4069 1.559	0.3805	0.6484	1.265	0.2780	0.8907	0.9051	0.1207	0.9415	0.4053	0.1443		
.7	.4882 1.691	.3026	.7110	1.239	.2333	.9305	.9893	.1008	.9597	.3236	.1245		
.75	.5756 1.799	.2359	.7720	1.196	.1907	.9599	.4888	.08204	.9740	.2491	.1044		
.8	.6675 1.871	.1777	.8302	1.132	.1500	.9798	.3137	.06428	.9847	.1818	0.08397		
.85	.7618 1.887	.1262	.8847	1.041	.1107	.9918	.1726	.04731	.9923	.1218	.06330		
0.9	0.8548 1.813	0.08011	0.9337	0.9110	0.07276	0.9978	0.07194	0.03101	0.9970	0.06972	0.04239		
.95	.9402 1.561	.03830	.9746	.7071	.03590	.9998	.01533	0.01527	.9994	.02717	.02128		
.98	.9822 1.189	.01494	.9930	.4943	.01425	1.0000	.001896	.006057	.9999	.007898	.008534		
.99	.9930 0.9439	.07411	.9973	.3742	.007109	1.0000	.0003842	.003020	1.0000	.003112	.002470		
1.0	1	0	0	1	0	0	1	0	0	1	0	0	

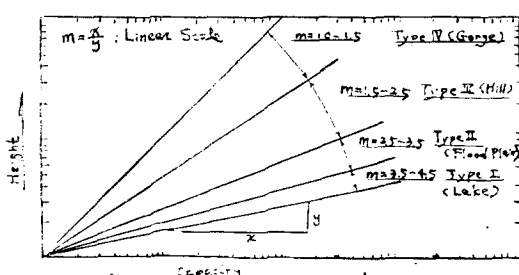


그림 8. 貯水池型의 分類

9. 計 算 例

計算資料는 筆者が U.S.B.R.에서 구할 수 있는 漢江流域調査報告書에서 달췌하였으며 A-C 式의一部는 内插法에 依한 값이므로 昭陽江 多目的型 設計에 實際로

適用되고 있는 數值와는 一 部 相異할 것으로 생각된다. 本 計算例는 貯水池容積曲線의 修正과 坪 地點의 堆砂位에 關한 것이며 貯水池 平面圖의 修正過程은 省略하였다.

昭陽湖의 諸元⁷⁾

最高 洪水位	EL 198.0m
*最高 堆砂位	EL 196.0m
*河 床 高	EL 80.0m
流入流砂量(100 年間)	$246 \times 10^6 \text{m}^3$
貯水池堆砂率	98%
總堆砂量	$241 \times 10^6 \text{m}^3$

*는 假定值임.

9-1 貯水池의 形態分類

昭陽江 貯水池의 水深對 容積을 그림 9와 같이 兩

對數紙에 投射한 結果 $m=2.6$ 이며 이것은 Type II(丘陵)와 Type III(山地)의 中間形態로서 어느 둘에 더 가까울지 確信할 수 있는 標驗資料가 없다.

이기서는 一但 Type II(Foothill)로 分類한다. Type II로 分類하는 것은 Type III(Hill)에 比하니 上流部蓄水問題는 安全側으로 確認된다. 하여 한편 堤附近의 塗砂問題를 過小 評價할 우려가 있다.

9-2 計算 過程

第1段階

表-4의 1, 2 및 3란을 原本의 貯水容積曲線表에 依하여 記入한다.

第2段階

各 標高別로 比深을 計算하여 4란에 記入한다. 昭陽湖의 總底이는 196-80=116m 이므로 EL 150m에서 比深은 $(150-80) \div 116 = 0.60$ 이다.

第3段階

그림 7 面積設計曲線 Type II에서 4란의 比深에 對한 比面積을 求해서 5란에 記入한다. 例를 들면 EL 150m에서 $P=0.60$ 이므로 그림 V에서 $A_p=1.28$ 이다.

第4段階

다음의 計算은 堤地點에서의 100年後 堆砂位(New Zero Elevation)을 決定하기 為한 것으로 表 5에 依한다. 1란은 貯水池標高로서 新堆砂位를 포함할 수 있도록 計算範圍를 定한다. 여기서는 EL 80-EL 90에서 堆砂位가 決定될 것으로 본 것이다. 表 5의 1, 2, 3란은 表 4의 1, 4, 3란의 値을 각각 옮긴 것이다.

第5段階

4란의 値은 總堆砂量 $S=241 \times 10^6 m^3$ 에서 3란의 値을 각각 공제한 것이다(即 $S-V$).

第6段階

5란의 値은 表 4의 2란 原面積에 總水深 H 를 乘하므로서 구한다. 여기서 H 의 値은 196-80=116m를 取했다. 例를 들면 EL 90m에서의 水面積은 $2.0 \times 10^6 m^2$ 이므로 $HA(pH)=116 \cdot 2.0 \times 10^6 = 232 \times 10^6 m^3$ 임.

第7段階

6란의 値은 式 8에 依하여 4란을 5란의 値으로 각 나눈 것이다(即 $h=(S-V) \div HA$).

第8段階

2란(比深)과 6란(臨界深函數)으로 昭陽湖의 設計曲

線을 作成하고 이과 Van't Hull의 Type II 曲線(設計曲線 I)과의 交叉點을 찾는다. 그림 10에서 交叉點即 比深은 $p_1=0.031$ 이다.

第9段階

$p_1=0.031$ 에 對한 計算結果는 表 5의 아래에 表示했다. 여기서 臨界深은 $P_0H=0.031 \times 116=3.6m$ 이며 新堆砂位 EL 83.6m는 昭陽湖 竣工 100年後 堤地點의 堆砂位이다. 이 地點의 標高를 以下의 計算으로(即 第4 아랫부분의 補助計算과 같이) 比例常數 K 값으로 變換시킨다.

第10段階

即 臨界深 $P_0H=3.6m$ 이므로 臨界點의 比深은 $3.6 \div 116=0.031$ 이다. 그리고 제 3 단계와 마찬가지로 그림 7 Type II에서 $p=0.031$ 에 對한 比面積 $A_p=0.32$ 을 읽는다. 比例常數 K 값은 定義에 依하면 $K=A \div A_p$ 이므로 $K=0.7 \div 0.32=2.18$ 이다.

新堆砂位 即 EL 83.6m 以下の 原面積(2란)은 6란의 堆砂面積으로 轉換된다. EL 84.0m 以上的 堆砂面積은 5란의 A_p 값에 K 값을 곱해서 各各求한다(6란) 例를 들면 EL 180m에서의 堆砂面積은 $1.02 \times 2.18=2.22$ 이다.

第11段階

6란의 面積을 平均斷面法으로 計算한 堆砂體積이 7란에 記入된다. 7란의 合計는 總堆砂量과 같으며 本計算에서는 $241 \times 10^6 m^3$ 이다. 그러나 計算過程에서 小數點處理關係로 約 2.5% 差은 $247 \times 10^6 m^3$ 로 되었는데 實用上 問題는 안되므로 아래 對한 調整은 必要치 않다.

第12段階

8란은 7란의 累計值이다.

第13段階

2란(原面積)에서 6란(堆砂面積)을 빼면 9란(堆砂修正面積)의 値이 된다.

第14段階

마찬가지로 10란(堆砂修正面積)의 値은 3란에서 8란을 각각 뺀 値이다.

第15段階

1, 9 및 10란의 値들은 當初자 竣工 100年後의 貯水容積曲線(H-A-C)이 된다.

〈豆-4〉

貯水池：昭陽湖

流砂分布計算(Empirical Method)

事業名(計算例)

總堆砂量； $241 \times 10^6 \text{ m}^3$

計 算；

K.O.H.

日付；72.6.10

① 標高 m	原面積 10^6 m^2	原容積 10^6 m^3	比深 p	比深 A_p	堆砂面積 10^6 m^2	堆砂體積 10^6 m^3	堆砂體積累計 10^6 m^3	修正面積 10^6 m^2	修正容積 10^6 m^3
205	22.5	3,446	—	—	—	—	—	82.5	3,199
200	76.3	3,071	—	—	—	—	—	76.3	2,824
198	74.3	2,890	—	—	—	—	—	74.3	2,643
196	72.5	2,740	1.00	0	0	4.6	247.0	72.5	2,493
190	65.7	2,340	0.95	0.70	1.53	18.7	242.4	64.2	2,397.6
180	54.9	1,761	0.86	1.02	2.22	23.7	223.7	52.7	1,537.3
170	35.2	1,310	0.78	1.16	2.53	26.1	200.0	32.7	1,110.0
160	28.2	930	0.69	1.24	2.70	27.4	173.9	25.5	756.1
150	23.6	680	0.60	1.28	2.79	27.8	146.5	20.8	533.5
140	19.3	455	0.52	1.27	2.77	27.1	118.7	16.5	336.3
130	14.5	270	0.43	1.22	2.66	25.7	91.6	11.8	178.4
120	10.1	161	0.34	1.14	2.49	23.5	65.9	7.6	95.1
110	6.4	92	0.26	1.02	2.22	20.1	42.4	4.2	49.6
100	4.6	40	0.17	0.83	1.81	15.1	22.3	2.5	17.7
90	2.0	10	0.08	0.56	1.22	5.0	7.2	0.8	2.8
85	1.0	2.5	0.043	0.38	0.8	0.7	2.2	0.2	0.3
84	0.8	1.6	0.034	0.34	0.7	0.6	1.5	0.1	0.1
83	0.6	0.9	0.026	0.28	0.6	0.5	0.9	—	—
82	0.4	0.4	0.017	0.22	0.4	0.3	0.4	—	—
81	0.2	0.1	0.008	0.13	0.2	0.1	0.1	—	—
80	0	0	0	0	0	0	0	—	—

補助計算

0.36	0.7	0.031	0.32	$k = 0.7 + 0.32 = 2.18$
81	0.008	0.1	240.9	23.2
82	0.017	0.4	240.6	5.2
83	0.026	0.9	240.1	3.4
84	0.034	1.6	239.4	2.58
85	0.043	2.5	238.5	2.05
90	0.08	10	231.0	0.996

比深 $P_0 = 0.031$ 臨界深 $P_0 H = 3.6 \text{ m}$
 河床高 $EL = 80.00 \text{ m}$ 埔地點堆砂位 $EL = 83.6 \text{ m}$

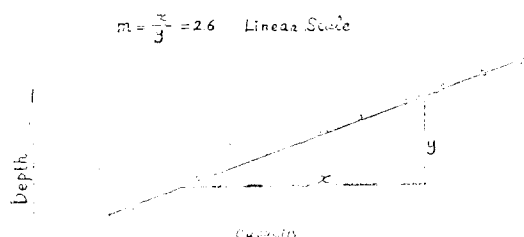


그림 9. 소양강 다목적댐 저수지 분류

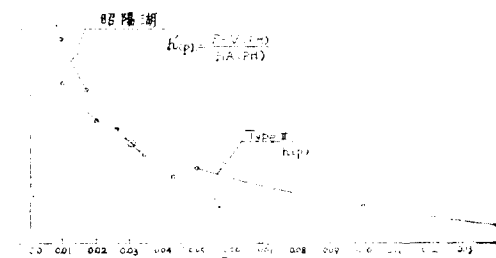


그림 10. 소양강댐 臨界深決定

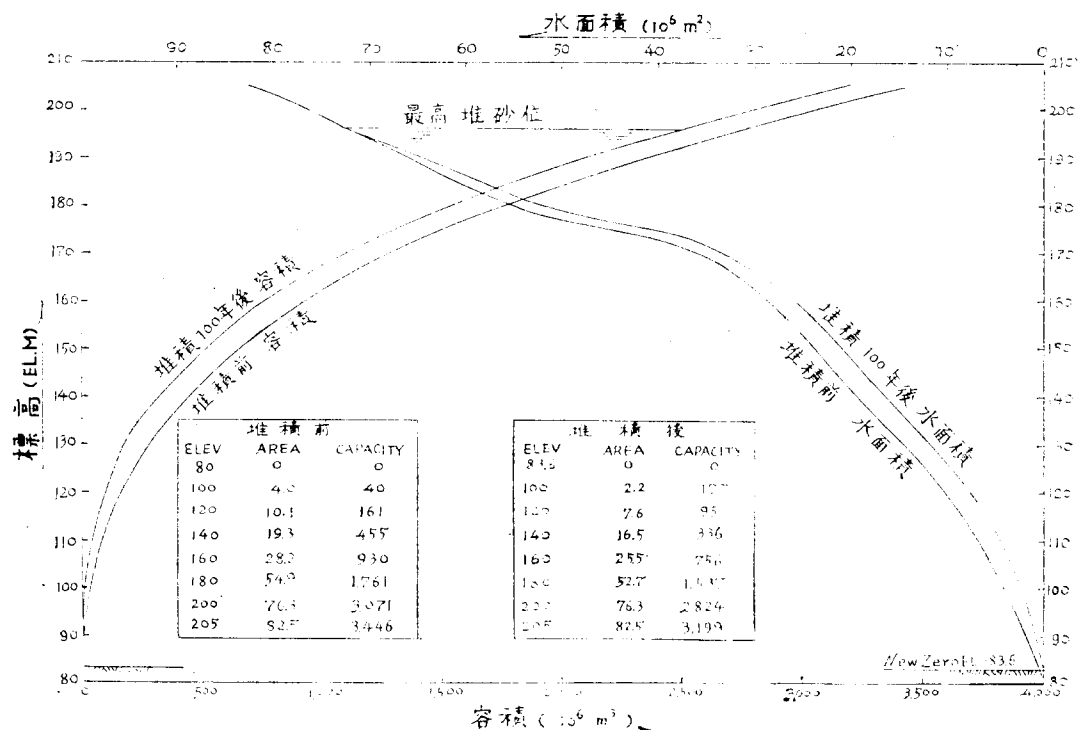


그림 11. 昭陽湖貯水容積曲線

10. 參考文獻

- (1) Eugene A. Cristofano, The Area Increment Method for Distributing Sediment in a Reservoir, 1953
- (2) W.M. Borland and C. R. Miller, Distribution of Sediment in Large Reservoirs, A.S.C.E. Transactions No. 3019, 1960. Interim Report Distribution of Sediment in Reservoirs, U.S.B.R. 1954
- (3) Erice L. Hobbs, Forecasting Distribution of Sediment Deposits, Memorandum U.S. Corps of Engineers, 1969
- (4) William T. Moody, Determination of the Maximum Elevation of Complete Sedimentation in a Reservoir, Memorandum U.S.B.R. 1962
- (5) Pearson, Karl, Tables of the Incomplete Beta Functions, Cambridge University Press, 1956
- (6) Revision of the Procedure to Compute Sediment Distribution in Large Reservoirs, U.S.B.R. 1962
- (7) Reconnaissance Report of Han River Basin' Appendixes VI. C 1971